

УПРУГОПЛАСТИЧЕСКИЙ ИЗГИБ ПРЯМОУГОЛЬНОЙ ТРЕХСЛОЙНОЙ ПЛАСТИНЫ СО СЖИМАЕМЫМ ЗАПОЛНИТЕЛЕМ

Леоненко Д.В., Зеленая А.С.

Белорусский государственный университет транспорта, Гомель

Введение. В условиях деформации изгиба трехслойные конструкции, которые состоят из двух несущих слоев и сжимаемого заполнителя, оказываются наиболее рациональными, то есть близкими к оптимальным с точки зрения обеспечения минимума весовых показателей при заданных ограничениях на прочность и жесткость.

В монографии [1] исследованы трехслойные стержни в терморадационных полях. Деформация трехслойного упругопластического стержня на упругом основании рассмотрена в работе [2]. Статья [3] посвящена изучению термоупругопластического изгиба круглой трехслойной пластины на деформируемом основании.

Здесь выполнена постановка и решение задачи о статическом деформировании физически нелинейной прямоугольной трехслойной пластины, получены уравнения равновесия в усилиях и перемещениях, проведен численный анализ решения.

Постановка задачи. Рассматривается изгиб несимметричной по толщине трехслойной пластины со сжимаемым заполнителем, несущие слои которой выполнены из упругопластического материала, а заполнитель – нелинейно упругий. Систему координат x, y, z свяжем со срединной плоскостью заполнителя (рис.1). Принимаем, что для изотропных несущих слоев справедливы гипотезы Кирхгофа. В жестком заполнителе применим точные соотношения теории упругости с линейной аппроксимацией перемещений его точек от поперечной координаты z . Учитываем, что на границах контакта перемещения непрерывны. Материалы несущих слоев несжимаемы в поперечном и продольном направлении, в заполнителе учитывается обжатие. Деформации малые.

На внешнюю поверхность первого несущего слоя действует произвольная распределенная нагрузка, проекции которой на координатные оси: $q(x, y)$, $p_x(x, y)$, $p_y(x, y)$. За искомые функции принимаем продольные перемещения $u_{kx}(x, y)$, $u_{ky}(x, y)$ и прогибы $w_k(x, y)$ срединных поверхностей несущих слоев ($k=1,2$).

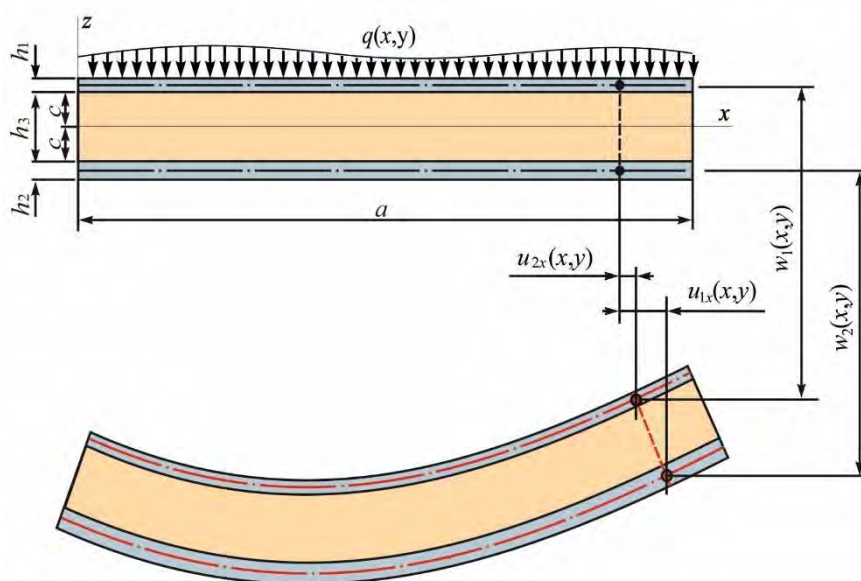


Рис.1. Расчетная схема

В слоях пластины применим физические уравнения состояния, соответствующие теории малых упругопластических деформаций:

$$s_{ij}^{(k)} = 2G_k \left(1 - \omega^{(k)}(\varepsilon_u^{(k)})\right) \varepsilon_{ij}^{(k)}, \quad (1)$$

$$\sigma^{(k)} = 3K_k \varepsilon^{(k)} \quad (i, j = x, y, z, k = 1, 2, 3),$$

где $s_{ij}^{(k)}$, $\sigma^{(k)}$ – девиаторная и шаровая части тензора напряжений; $\varepsilon_{ij}^{(k)}$, $\varepsilon^{(k)}$ – девиаторная и шаровая части тензора деформаций; $\varepsilon_u^{(k)}$ – интенсивность деформации в k -м слое; $\omega^{(k)}(\varepsilon_u^{(k)})$ – функции пластичности Ильюшина в несущих слоях, которые в случае $\varepsilon_u^{(k)} \leq \varepsilon_T^{(k)}$ следует положить равными нулю, $\varepsilon_T^{(k)}$ – предел текучести материала; $\omega^{(3)}(\varepsilon_u^{(3)})$ – универсальная функция, описывающая физическую нелинейность материала заполнителя, причем $\omega^{(3)} \equiv 0$ при $\varepsilon_u^{(3)} \leq \varepsilon_s^{(3)}$; $\varepsilon_s^{(3)}$ – предел физической нелинейности заполнителя; G_k – сдвиговой модуль упругости материалов, K_k – объемный модуль упругости материалов.

Ранее в [4] были получены силовые уравнения равновесия для упругой пластины и соответствующие граничные условия. Они не зависят от физических уравнений состояния, поэтому справедливы и для упругопластической пластины.

Исходя из соотношений (1) выделим в тензоре напряжений упругие (с индексом «0») и нелинейные (с индексом « ω ») слагаемые:

$$\begin{aligned} \sigma_{ij}^{(k)} &= \sigma_{ij}^{(k)0} - \sigma_{ij}^{(k)\omega}, \\ \sigma_{ij}^{(k)0} &= 2G_k \varepsilon_{ij}^{(k)} + 3K_k \varepsilon^{(k)} \delta_{ij}, \quad \sigma_{ij}^{(k)\omega} = 2G_k \omega^{(k)} \varepsilon_{ij}^{(k)} \end{aligned} \quad (2)$$

С внутренними усилиями и обобщенными усилиями проведем аналогичные операции, разбивая на линейные и нелинейные составляющие. Подставив обобщенные усилия в систему уравнений равновесия для упругой пластины и преобразовав, получим систему уравнений физически нелинейной трехслойной прямоугольной пластины со сжимаемым заполнителем:

$$\begin{aligned} H_{1x}^0 - V_{1,y}^0 - P_{1x,x}^0 &= p_x + H_{1x}^\omega - V_{1,y}^\omega - P_{1x,x}^\omega, \\ H_{1x}^0 + V_{2,y}^0 + P_{2x,x}^0 &= H_{1x}^\omega + V_{2,y}^\omega + P_{2x,x}^\omega, \\ H_{1y}^0 - V_{1,x}^0 - P_{1y,y}^0 &= p_y + H_{1y}^\omega - V_{1,x}^\omega - P_{1y,y}^\omega, \\ H_{1y}^0 + V_{2,x}^0 + P_{2y,y}^0 &= H_{1y}^\omega + V_{2,x}^\omega + P_{2y,y}^\omega, \end{aligned} \quad (3)$$

$$S_{1x,xx}^0 + H_2^0 - T_{1x,x}^0 - U_{1,yy}^0 + S_{1y,yy}^0 - T_{1y,y}^0 = q + \frac{p_{x,xx} h_1}{2} + \frac{p_{y,yy} h_1}{2} + S_{1x,xx}^\omega + H_2^\omega - T_{1x,x}^\omega - U_{1,yy}^\omega + S_{1y,yy}^\omega - T_{1y,y}^\omega,$$

$$S_{2x,xx}^0 - H_2^0 - T_{2x,x}^0 - U_{2,xy}^0 + S_{2y,yy}^0 - T_{2y,y}^0 = S_{2x,xx}^\omega - H_2^\omega - T_{2x,x}^\omega - U_{2,xy}^\omega + S_{2y,yy}^\omega - T_{2y,y}^\omega,$$

где H_{kx} , H_{ky} , V_k , P_{kx} , P_{ky} , S_{kx} , S_{ky} , H_k , T_{kx} , T_{ky} , U_k – обобщенные усилия (упругие – с индексом «0», нелинейные – с индексом « ω »).

С силовыми граничными условиями поступим аналогично, т.е. при $x=0, a$ должны выполняться требования:

$$P_{1x}^0 = N_{rx}^{(1)} + P_{1x}^\omega, \quad P_{2x}^0 = N_{rx}^{(2)} + P_{2x}^\omega, \quad V_1^0 = Q_{rxy}^{(1)} + V_1^\omega, \quad V_2^0 = Q_{rxy}^{(2)} + V_2^\omega,$$

$$T_{1x}^0 - S_{1x,x}^0 - U_{1,y}^0 = Q_{rx}^{(1)} + (T_{1x}^\omega - S_{1x,x}^\omega - U_{1,y}^\omega),$$

$$T_{2x}^0 - S_{2x,x}^0 - U_{2,y}^0 = Q_{rx}^{(1)} + (T_{2x}^\omega - S_{2x,x}^\omega - U_{2,y}^\omega), \quad S_{1x}^0 = M_{rx}^{(1)} + S_{1x}^\omega, \quad S_{2x}^0 = M_{rx}^{(2)} + S_{2x}^\omega.$$

При $y=0, b$

$$P_{1y}^0 = N_{ly}^{(1)} + P_{1y}^\omega, \quad P_{2y}^0 = N_{ly}^{(2)} + P_{2y}^\omega, \quad V_1^0 = Q_{lxy}^{(1)} + V_1^\omega, \quad V_2^0 = Q_{lxy}^{(2)} + V_2^\omega,$$

$$T_{1y}^0 - S_{1y,y}^0 = Q_{ly}^{(1)} + (T_{1y}^\omega - S_{1y,y}^\omega), \quad T_{2y}^0 - S_{2y,y}^0 = Q_{ly}^{(2)} + (T_{2y}^\omega - S_{2y,y}^\omega), \quad (4)$$

$$S_{1y}^0 = M_{ly}^{(1)} + S_{1y}^\omega, \quad S_{2y}^0 = M_{ly}^{(2)} + S_{2y}^\omega, \quad U_1^0 = Q_{lx}^{(1)} + U_1^\omega, \quad U_2^0 = Q_{lx}^{(2)} + U_2^\omega$$

Здесь $N_{rx}^{(1)}$, $Q_{rx}^{(1)}$, $Q_{rx}^{(1)}$, $M_{rx}^{(1)}$, $N_{ly}^{(1)}$, $Q_{ly}^{(1)}$, $Q_{ly}^{(1)}$, $M_{ly}^{(1)}$ – заданные усилия на торцах пластины в первом несущем слое (с индексом «2» – во втором несущем слое). Индекс r принимает значения $0, a$, индекс l – $0, b$, указывая, на каком конце пластины задано усилие.

Подставим выражения линейных и нелинейных составляющих внутренних усилий через искомые функции u_{1x} , u_{1y} , u_{2x} , u_{2y} , w_1 , w_2 в уравнения равновесия (3), получим систему нелинейных дифференциальных уравнений прямоугольной физически нелинейной трехслойной пластины:

$$\begin{aligned} & a_1 u_{1x} - a_1 u_{2x} - a_4 u_{1x,xx} - a_5 u_{2x,xx} - a_{19} u_{1x,yy} - a_{18} u_{2x,yy} - a_{21} u_{1y,xy} - a_{23} u_{2y,xy} + a_2 w_{1,x} + \\ & + a_3 w_{2,x} - 2a_{24} w_{1,xyy} + a_{25} w_{2,xyy} - 2a_6 w_{1,xxx} + a_7 w_{2,xxx} = p_x + p_\omega, \\ & -a_1 u_{1x} + a_1 u_{2x} - a_5 u_{1x,xx} - a_9 u_{2x,xx} - a_{18} u_{1x,yy} - a_{20} u_{2x,yy} - a_{23} u_{1y,xy} - a_{22} u_{2y,xy} - a_{10} w_{1,x} - \\ & - a_{17} w_{2,x} - a_{24} w_{1,xyy} + 2a_{25} w_{2,xyy} - a_6 w_{1,xxx} + 2a_7 w_{2,xxx} = s_\omega, \\ & a_1 u_{1y} - a_1 u_{2y} - a_4 u_{1y,yy} - a_5 u_{2y,yy} - a_{19} u_{1y,xx} - a_{18} u_{2y,xx} - a_{21} u_{1x,xy} - a_{23} u_{2x,xy} + a_2 w_{1,y} + \\ & + a_3 w_{2,y} - 2a_{24} w_{1,xyy} + a_{25} w_{2,xyy} - 2a_6 w_{1,yyy} + a_7 w_{2,yyy} = p_y + h_\omega, \\ & -a_1 u_{1y} + a_1 u_{2y} - a_5 u_{1y,yy} - a_9 u_{2y,yy} - a_{18} u_{1y,xx} - a_{20} u_{2y,xx} - a_{23} u_{1x,xy} - a_{22} u_{2x,xy} - a_{10} w_{1,y} - \\ & - a_{17} w_{2,y} - a_{24} w_{1,xyy} + 2a_{25} w_{2,xyy} - a_6 w_{1,yyy} + 2a_7 w_{2,yyy} = r_\omega, \\ & -a_2 u_{1x,xx} - a_2 u_{1y,yy} + a_{10} u_{2x,xx} + a_{10} u_{2y,yy} + 2a_6 u_{1x,xxx} + a_6 u_{2x,xxx} + 2a_6 u_{1y,yyy} + a_6 u_{2y,yyy} + \\ & + 2a_{24} u_{1x,xyy} + a_{24} u_{2x,xyy} + 2a_{24} u_{1y,xyy} + a_{24} u_{2y,xyy} + a_{11} w_{1,xx} + a_{11} w_{1,yy} - a_{12} w_{2,xx} - \\ & - a_{12} w_{2,yy} + a_{15} w_{1,xxxx} + a_{15} w_{1,yyyy} - a_{16} w_{2,xxxx} - a_{16} w_{2,yyyy} + a_{26} w_{1,xyy} - a_{28} w_{2,xyy} + \\ & + a_8 w_1 - a_8 w_2 = q + \frac{p_{x,xx} h_1}{2} + \frac{p_{y,yy} h_1}{2} + q_\omega, \\ & -a_3 u_{1y,yy} - a_3 u_{1x,xx} + a_{17} u_{2y,yy} + a_{17} u_{2x,xx} - a_7 u_{1y,yyy} - a_7 u_{1x,xxx} - 2a_7 u_{2y,yyy} - 2a_7 u_{2x,xxx} - \\ & - 2a_{27} u_{2y,xyy} - a_{25} u_{1y,xyy} - 2a_{25} u_{2x,xyy} - a_{25} u_{1x,xyy} - a_{12} w_{1,xx} - a_{12} w_{1,yy} + a_{14} w_{2,xx} + a_{14} w_{2,yy} + \\ & - a_{16} w_{1,xxxx} - a_{16} w_{1,yyyy} + a_{13} w_{2,xxxx} + a_{13} w_{2,yyyy} - a_{28} w_{1,xyy} + a_{27} w_{2,xyy} - \\ & - a_8 w_1 + a_8 w_2 = g_\omega. \end{aligned} \tag{5}$$

Здесь коэффициенты a_1, \dots, a_{28} определяются по формулам, полученным при решении упругой задачи. Нелинейные слагаемые

$$\begin{aligned} p_\omega &= H_{1x}^\omega - V_{1,y}^\omega - P_{1x,xx}^\omega, \\ s_\omega &= H_{1x}^\omega + V_{2,y}^\omega + P_{2x,xx}^\omega, \\ h_\omega &= H_{1y}^\omega - V_{1,xx}^\omega - P_{1y,yy}^\omega, \\ r_\omega &= H_{1y}^\omega + V_{2,xx}^\omega + P_{2y,yy}^\omega, \\ q_\omega &= H_2^\omega - T_{1x,xx}^\omega - U_{1,xy}^\omega + S_{1y,yy}^\omega - T_{1y,yy}^\omega, \\ g_\omega &= S_{2x,xx}^\omega - H_2^\omega - T_{2x,xx}^\omega - U_{2,xy}^\omega + S_{2y,yy}^\omega - T_{2y,yy}^\omega. \end{aligned} \tag{6}$$

Далее применим метод «упругих» решений Ильюшина [5], так как точное решение системы нелинейных дифференциальных уравнений (5) получить не удалось.

упругопластической пластины по торцам на неподвижные в пространстве жесткие опоры. Тогда для торцевых сечений справедливы следующие соотношения:

$$\begin{aligned} \text{при } x=0, a \quad u_{kx,x}^n = u_{ky}^n = w_k^n = w_{k,xx}^n = 0, \\ \text{при } y=0, b \quad u_{ky,y}^n = u_{kx}^n = w_k^n = w_{k,yy}^n = 0, \end{aligned} \quad (9)$$

где k – номер слоя, n – номер приближения.

Решение системы дифференциальных уравнений предполагаем в виде разложения в тригонометрические ряды, которые автоматически удовлетворяют граничным условиям (9):

$$\begin{aligned} u_{1x} &= \sum_{m,p=0}^{\infty} U_{1xmp}^n \cos \frac{\pi px}{a} \sin \frac{\pi my}{b}, & u_{2x} &= \sum_{m,p=0}^{\infty} U_{2xmp}^n \cos \frac{\pi px}{a} \sin \frac{\pi my}{b}, \\ u_{1y} &= \sum_{m,p=0}^{\infty} U_{1ymp}^n \sin \frac{\pi px}{a} \cos \frac{\pi my}{b}, & u_{2y} &= \sum_{m,p=0}^{\infty} U_{2ymp}^n \sin \frac{\pi px}{a} \cos \frac{\pi my}{b}, \\ w_1 &= \sum_{m,p=0}^{\infty} W_{1mp}^n \sin \frac{\pi px}{a} \sin \frac{\pi my}{b}, & w_2 &= \sum_{m,p=0}^{\infty} W_{2mp}^n \sin \frac{\pi px}{a} \sin \frac{\pi my}{b}, \end{aligned} \quad (10)$$

где $U_{1xmp}^n, U_{2xmp}^n, U_{1ymp}^n, U_{2ymp}^n, W_{1mp}^n, W_{2mp}^n$ – неизвестные амплитуды перемещений на n -м шаге.

Поперечную и дополнительную «внешнюю» нагрузку в слоях пластины представим в виде разложения в следующие тригонометрические ряды:

$$\begin{aligned} q &= \sum_{m,p=0}^{\infty} q_{mp} \sin \frac{\pi px}{a} \sin \frac{\pi my}{b}, & q_{mp} &= \frac{4}{ab} \int_0^a \int_0^b q(x,y) \sin \frac{\pi px}{a} \sin \frac{\pi my}{b} dx dy, \\ p_{\omega}^{n-1} &= \sum_{m,p=0}^{\infty} p_{\omega mp}^{n-1} \cos \frac{\pi px}{a} \sin \frac{\pi my}{b}, & p_{\omega mp}^{n-1} &= \frac{4}{ab} \int_0^a \int_0^b p_{\omega}^{n-1}(x,y) \cos \frac{\pi px}{a} \sin \frac{\pi my}{b} dx dy, \\ s_{\omega}^{n-1} &= \sum_{m,p=0}^{\infty} s_{\omega mp}^{n-1} \cos \frac{\pi px}{a} \sin \frac{\pi my}{b}, & s_{\omega mp}^{n-1} &= \frac{4}{ab} \int_0^a \int_0^b s_{\omega}^{n-1}(x,y) \cos \frac{\pi px}{a} \sin \frac{\pi my}{b} dx dy, \\ h_{\omega}^{n-1} &= \sum_{m,p=0}^{\infty} h_{\omega mp}^{n-1} \sin \frac{\pi px}{a} \cos \frac{\pi my}{b}, & h_{\omega mp}^{n-1} &= \frac{4}{ab} \int_0^a \int_0^b h_{\omega}^{n-1}(x,y) \sin \frac{\pi px}{a} \cos \frac{\pi my}{b} dx dy, \\ r_{\omega}^{n-1} &= \sum_{m,p=0}^{\infty} r_{\omega mp}^{n-1} \sin \frac{\pi px}{a} \cos \frac{\pi my}{b}, & r_{\omega mp}^{n-1} &= \frac{4}{ab} \int_0^a \int_0^b r_{\omega}^{n-1}(x,y) \sin \frac{\pi px}{a} \cos \frac{\pi my}{b} dx dy, \\ q_{\omega}^{n-1} &= \sum_{m,p=0}^{\infty} q_{\omega mp}^{n-1} \sin \frac{\pi px}{a} \sin \frac{\pi my}{b}, & q_{\omega mp}^{n-1} &= \frac{4}{ab} \int_0^a \int_0^b q_{\omega}^{n-1}(x,y) \sin \frac{\pi px}{a} \sin \frac{\pi my}{b} dx dy, \\ g_{\omega}^{n-1} &= \sum_{m,p=0}^{\infty} g_{\omega mp}^{n-1} \sin \frac{\pi px}{a} \sin \frac{\pi my}{b}, & g_{\omega mp}^{n-1} &= \frac{4}{ab} \int_0^a \int_0^b g_{\omega}^{n-1}(x,y) \sin \frac{\pi px}{a} \sin \frac{\pi my}{b} dx dy. \end{aligned} \quad (11)$$

После подстановки перемещений (10), нагрузок и дополнительных усилий (11) в систему (7) получим следующую систему линейных алгебраических уравнений для нахождения искомых амплитуд перемещений $U_{1xmp}^n, U_{2xmp}^n, U_{1ymp}^n, U_{2ymp}^n, W_{1mp}^n, W_{2mp}^n$:

$$\begin{aligned} b_1 U_{1xmp}^n + b_2 U_{2xmp}^n + b_{11} U_{1ymp}^n + b_{12} U_{2ymp}^n + b_3 W_{1mp}^n + b_4 W_{2mp}^n &= p_{\omega mp}^{n-1}, \\ b_2 U_{1xmp}^n + b_5 U_{2xmp}^n + b_{12} U_{1ymp}^n + b_{13} U_{2ymp}^n + b_6 W_{1mp}^n + b_7 W_{2mp}^n &= s_{\omega mp}^{n-1}, \\ b_{11} U_{1xmp}^n + b_{12} U_{2xmp}^n + b_{14} U_{1ymp}^n + b_{15} U_{2ymp}^n + b_{16} W_{1mp}^n + b_{17} W_{2mp}^n &= h_{\omega mp}^{n-1}, \\ b_{12} U_{1xmp}^n + b_{13} U_{2xmp}^n + b_{15} U_{1ymp}^n + b_{18} U_{2ymp}^n + b_{19} W_{1mp}^n + b_{20} W_{2mp}^n &= r_{\omega mp}^{n-1}, \\ b_3 U_{1xmp}^n + b_6 U_{2xmp}^n + b_{16} U_{1ymp}^n + b_{19} U_{2ymp}^n + b_8 W_{1mp}^n + b_9 W_{2mp}^n &= q_{mp} + q_{\omega mp}^{n-1}, \\ b_4 U_{1xmp}^n + b_7 U_{2xmp}^n + b_{17} U_{1ymp}^n + b_{20} U_{2ymp}^n + b_9 W_{1mp}^n + b_{10} W_{2mp}^n &= g_{\omega mp}^{n-1}. \end{aligned}$$

Здесь коэффициенты b_i выражаются через величины a_i и зависят от параметров m и p , вычисляются по формулам, введенным ранее в [4].

Численная апробация решения. Численное исследование проводилось для трехслойной пластины, набранной из материалов Д16Т – ПТФЭ – Д16Т. Размеры пластины: $a=1$ м, $b=1$ м, $h_1=0,04$ м, $h_2=0,02$ м, $h_3=0,2$ м. Механические характеристики материалов взяты из монографии [6]. Нагрузка с интенсивностью $q=12$ МПа равномерно распределена по всей поверхности первого несущего слоя пластины. Ее величина подбиралась таким образом, чтобы нелинейные свойства материалов слоев проявились в достаточной степени, но деформации оставались в рамках теории малых упругопластических деформаций.

Рис. 2 а)–г) показывает процесс сходимости метода упругих решений на примере прогибов и продольных перемещений первого и второго слоя при изгибе упругопластической пластины.

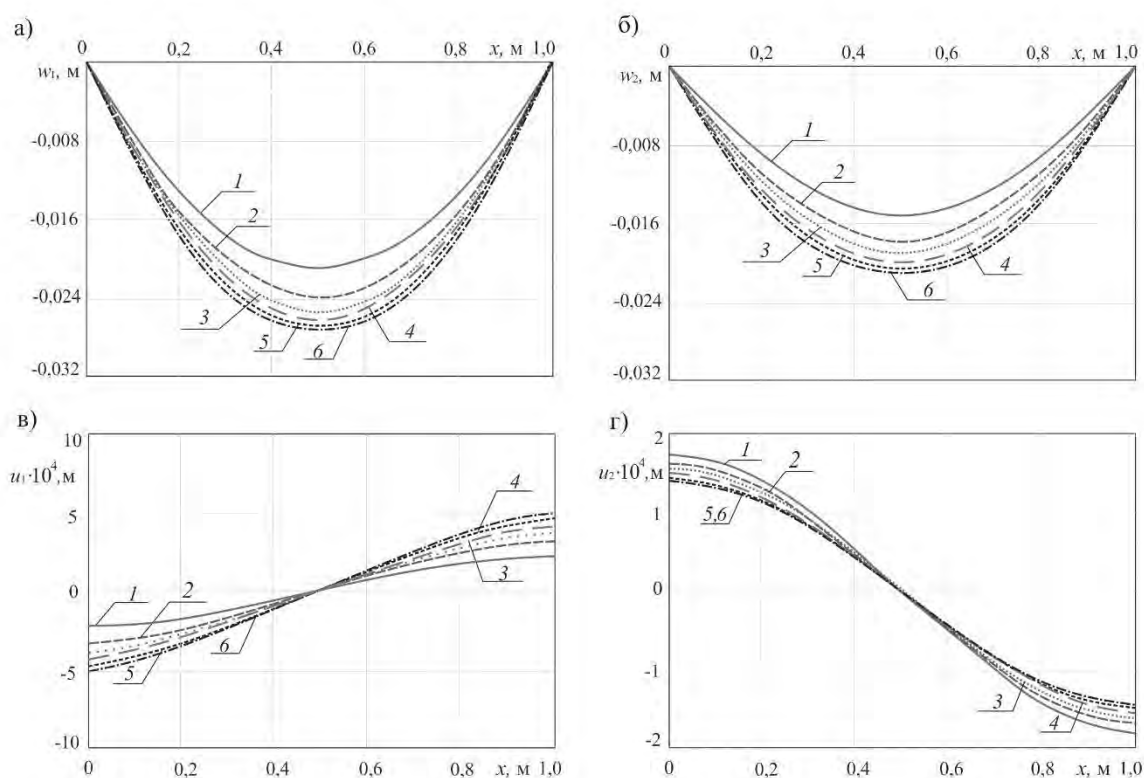


Рис. 2. Сходимость метода «упругих» решений

Номер кривой соответствует номеру итерации. Кривая 1 является решением упругой задачи. Перемещения 2-й итерации отличается от первой на 13 %. При каждой последующей итерации разница между перемещениями уменьшается. За искомое решение принято 6-е приближение, различие между кривыми 5 и 6 составляет менее 1%. При дальнейшем численном исследовании сходимости было обнаружено стремление к нулю между предыдущей и последующей итерацией.

Из рис. 2 а), б) следует, что упругопластические прогибы несущих слоев пластины больше упругих на 28%. Из рис.2 в), г) очевидно, что продольные перемещения первого несущего слоя увеличиваются на 29%, а продольные перемещения второго несущего слоя уменьшаются на 15%.

Вывод. Таким образом, решена краевая задача изгиба прямоугольной трехслойной пластины со слоями, проявляющими упругопластические свойства. Метод «упругих» решений в нашем случае показал хорошую сходимость. Отличие 6-й итерации от 5-й составляет менее 1%.

ЛИТЕРАТУРА

1. Старовойтов, Э.И. Трехслойные стержни в терморadiационных полях / Э.И. Старовойтов, М.А. Журавков, Д.В. Леоненко. – Минск : Беларуская навука, 2017. – 275 с.
2. Starovoitov, E.I. Deformation of a three-layer elastoplastic beam on an elastic foundation / E.I. Starovoitov, D.V. Leonenko // *Mechanics of Solids*. – 2011. – Vol. 46, № 2. – P. 291–298.
3. Starovoitov, E.I. Thermoelastoplastic bending of circular three-layer plate on the deformable foundation / E.I. Starovoitov, A.V. Yarovaya, D.V. Leonenko // *Actual Problems of Aviation and Aerospace Systems: processes, models, experiment*. – 2009. – Т.14, 1(28). – P. 115–128.
4. Зеленая, А.С. Напряженно-деформированное состояние упругой трехслойной прямоугольной пластины со сжимаемым заполнителем / А.С. Зеленая // *Механика. Исследования и инновации: междунар. сб. научн. тр.* – Гомель: БелГУТ, 2017. – Вып. 10. – С. 67–74.
5. Ильюшин, А.А. Упругопластические деформации полых цилиндров / А.А. Ильюшин, П.М. Огибалов. – М. : Изд-во МГУ, 1960. – 224 с.
6. Старовойтов, Э.И. Вязкоупругопластические слоистые пластины и оболочки / Э.И. Старовойтов. – Гомель: БелГУТ, 2002. – 343 с.